

交通ネットワークにおける対災害信頼性の最適配分

神戸大学工学部 正員
神戸大学工学部 正員
片平エンジニアリング○正員
神戸大学大学院 学生員
枝森俊夫
村津秀元治
土井勝人郎
中川俊郎

1. はしがき

地震、風水害あるいは積雪といふような大規模な自然災害がある地域を襲ったとき、いかがわその地域の交通網が健全に機能し続けることが望ましいことはいうまでもない。しかしながら、限りある予算のもとで交通網を構成するすべての要素をこれらの自然災害に対して最大の信頼性を与えるように設計し維持することはしばしば困難であり、また資源の浪費であるといえよう。

この研究では、一定の予算制約下で交通サービスを災害時においても十分發揮できるように、すなはち災害に対する信頼性を最大に保つように、交通網を構成する各リンクの対災害信頼性の水準を最適に配分する問題をとり扱う。ここにいふ対災害信頼性は規格のようくみなされ、その水準は離散的に与えられるものとする。

電気、機械装置や構造物などのシステムが規定された機能を遂行する確率についての研究、いわゆる信頼性理論はすでに相当の成果がみられる。しかしリンクを構成要素とみなす場合の、交通網のようく複雑なシステムの信頼性については、これまでほとんど研究がなされていない。

ここでは、まず最初に交通ネットワークの対災害信頼性の概念について述べ、次にこの問題を2つの場合に分けて定式化を行く。ひとつは、ある災害に対してネットワークの破壊パターンが1つに決まるとき仮定してその総所要時間を評価関数とする場合である。他のひとつは、ある災害に対してネットワークの状態が確率的に決まるとき仮定し、目的地に到着できるトリップ数の期待値で評価する場合である。そしてそれぞれの最適解を求めるアルゴリズムを提案し、いくつかの計算例を示す。

2. 交通ネットワークの対災害信頼性の概念

(1) 交通ネットワークの対災害信頼性の評価について

交通ネットワークに災害が加わり、その一部のリンクが使用不能になればネットワークの状態は平常時と異なったものとなる。多くのリンクが同時に破壊され使用可能がリンクが減少すれば、当然トリップの所要時間は増大し、ネットワーク全体として大きな不利益を被ることになる。そのほほほだいときにはネットワークが非連結となり、目的地に到着できないトリップがでてくることも考えられよう。

そこで、われわれは対災害信頼性の高い交通ネットワークとは、平常時のみならず災害時においてもロットリップの存在するノード間にパスが存在し、その所要時間が小さいものであると考える。ただしここにいふ災害とはリンクに損傷を与えることによるものである。

災害に対してリンクが破壊するか否かは、リンクの強度と災害の強度の相対的な関係によって決まってくると考えられる。しかし破壊のメカニズムは非常に複雑なため、リンクの強度や災害の強度を完全に把握することは困難である。このため、現状では災害に対してリンクが破壊するか否かは確率的に決まるということにより、不十分な点を補わざるをえない。このとき、前述の意味で対災害信頼性の最適化を行なうならば、ネットワークを利用するトリップの総所要時間の期待値を評価関数とするのが妥当であろう。

リンクが破壊するか否かが確率的に決まるということは、そのリンクがどちらの状態をもとりうることを意味する。たとえばm本のリンクから成るネットワークでは、2^mの破壊パターンがそれを生起確率をもって得ら

れることになる。そして各パターンの総所要時間に生起確率をかけた和として評価関数である期待値が求まる。しかしこれでは1つの解についての評価関数值を求めると、計算時間がかかり過ぎるため最適化を行うことはできない。よって簡単のために次の2つの場合に分けて定式化することにする。

ひとつは、ある災害のもとでネットワークのリンクが破壊するか否かがどちらかに決まると仮定する。そして次節に述べる災害パターンの概念を用い、いくつかのネットワークの状態での総所要時間の重みづけした総和を最小化する問題である。他のひとつは、ある災害のもとで、ネットワークのリンクが破壊するか否かが確率で与えられると仮定する。そしていくつかの災害パターンに対しても目的地に到達できるトリップ数の期待値の重みづけした総和を最大化する問題である。

次に定式化の際に導入したいくつかの新しい概念について述べる。

② リンクレベル、災害強度レベルおよび災害パターンの概念の導入

リンクの対災害信頼性の水準を離散的な規格として表わすリンクレベルを設定する。費用はリンクレベルの関数とし、高いリンクレベルのリンクを建設する際には高い費用がかかると考えるのである。このことにより、問題は一定の予算制約下で最も適なリンクレベルの組合せを決定する整数計画問題として定式化される。

ある地域に展開している交通ネットワークに自然災害が及ぶとき、近接するリンクには同じような影響を与えるであろう。すなわち災害の強度はリンクに独立ではなく、ある地域的分布をもつものと考えられる。地域的分布は災害ごとに変化するであろうが、これらはいくつかの代表的なパターンに分類することができますと仮定する。ここではこのパターンを災害パターンと呼ぶことにする。すなわち各リンクには各パターンに応じた固有の災害強度が加わるものと考えるのである。また各リンクに対する災害の強度は、ここでは簡単のために離散的な災害強度レベルで表わすこととする。

総所要時間最小化問題の場合、あるリンクについて災害強度レベルがリンクレベル以上であれば、そのリンクは破壊すると言える。たとえば図-1のネットワークが災害を受ける前の状態で、そのリンクレベルは()内の数字で表わされていふとする。そして〔〕内の数字で表わされる災害強度レベルをもつ災害パターンが加わったときには、ネットワークは図-2のようになるとする。

まで到着トリップ数最大化問題においては、リンクレベルと災害強度レベルの組合せに対してそれがリンクの破壊確率あるいは非破壊確率が与えられるものとする。

3. 総所要時間最小化問題

⑴ 問題の定式化

各災害パターンによりネットワークの状態は変化する。よってこれらの総所要時間の重みづけした和を評価関数とし、建設費制約の下で最適化を行ふ。

$$\min Z_1 = \sum_{s=1}^S (w_s \sum_{j=1}^n g_{sj} \cdot t_{sj}(\chi, \varphi_s)) \quad (1)$$

$$\text{s.t. } \sum_{k=1}^m C_k(x_k) \leq C^u \quad (2)$$

$$L_k \leq x_k \leq L_k^{\max} \quad (k=1, 2, \dots, m) \quad (3)$$

ここに、 φ_s : 目的関数で、災害パターンにより重みづけした総所要時間の和。 t_{sj} : ノード*s*からノード*j*への最短所要時間。ただしノード*s*からノード*j*へのバスが存在しないときは、所要時間のかわりにペナルティーを与える。 w_s : 災害パターン*S*の重み。 $\sum_{s=1}^S w_s = 1$ 。 χ : $\chi = (x_1, x_2, \dots, x_m, \dots, x_m)$ 。検討リンクのリンクレベルを表わす変数。正整数である。 $x_k = 0$ はリンク*k*が存在しないことである。

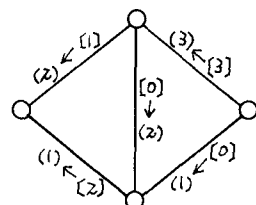


図-1 災害を受ける前のネットワーク

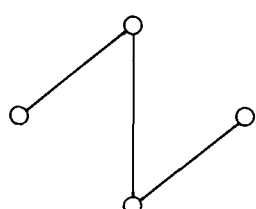


図-2 災害を受けた後のネットワーク

$Z_R = L^{\max}$ はリンク先が最高のリンクレベルにあることを表す。いまかりに、 $Z_R = L$ とすると、リンク先は災害強度レベル L 以上の災害によって使用不能となる。 $\phi_S : \phi_S = (\phi_{1S}, \phi_{2S}, \dots, \phi_{kS}, \dots, \phi_{mS})$ 。災害パターン S の各リンクに対する災害強度レベルを表わす正整数である。 $\phi_{kS} = 0$ は災害パターン S のリンク先に対する災害がないことを表す。よって平常時の災害パターンは、 $\phi_{kS} = 0$ ($k=1, 2, \dots, m$) となる。 $C_L(Z_R)$ ：リンク先のリンクレベルを L から L^{\max} に改善するのに必要な費用。 C^U ：建設費の上限値。 λ ：災害パターン数。 L_k ：リンク先の改良する前のリンクレベル。 L^{\max} ：リンクを改良できる最高のリンクレベルとする。

式(1)において、 y_{kl} たり (ϕ_{kS}, ϕ_{lS}) はリンクレベルが k 、災害パターンが S のときの、ノード i からノード j への最短所要時間にトリップ数をかけたものである。それをすべてのノード対について合計し、災害パターン S の下での総所要時間を求める。そしてすべての災害パターンに対して総所要時間の加重和をとったものが F である。式(2)はリンクを改善する際の全費用が一定の予算 C^U を上まわらないための制約である。式(3)はリンクレベルが現在のリンクレベル以上であり、かつ若えている最高のリンクレベル以下であることを示す。

(2) 目的関数の下限値について

この問題は目的関数に総所要時間を使用した整数計画問題であるといふ点で従来のいかゆる最適ネットワーク問題と一致している。もし災害パターンとして平常時のみを考え、その重みを 1 にし、リンクレベルを 0 か 1 とすれば、まったく同じ問題になる。

一般にこれらの整数計画問題は、すこし大きなネットワークになると実行可能解の数が膨大になり計算が不可能になると云う特徴がある。そこで、Hoang¹⁾は目的関数の下限値を使用することにより無駄な目的関数の計算を省略するアルゴリズムを提案している。さらに枝村・森津²⁾は下限値を求めるときの LP 解からいきに実行可能解を得ることにより、組合せトリー上でより早い段階に最適解を求めるアルゴリズムを開発している。式(1)～(3)の問題は複数のリンクレベルで表わされてはある点で従来の最適ネットワーク問題とは異なっている。このことは解がリンクレベルの組合せであることから実行可能解の増加にもつながる。また目的関数の計算に際しても各災害パターン S でのネットワークに対して最短路探索問題を解かねばならず、これも計算時間の増大をもたらす。このため目的関数の下限値を求め計算の効率化をはかることはより重要である。本研究であつかう問題は複数のリンクレベルが存在するので、Hoang の下限値をそのまま適用することはできない。そこで、簡単に目的関数の下限値とその LP 解を求められるよう、あらたに変換操作アルゴリズムを開発する。次に述べる補助問題は目的関数の増加の下限値を求める定式化を行うものである。

補助問題 1

$$\min F = \sum_{k=1}^{mL^{\max}} f_{kL} \cdot y_{kL} \quad (4)$$

$$\text{s.t. } \sum_{k=1}^{mL^{\max}} C_{kL} \cdot y_{kL} \geq C^{\max} - C^U \quad (5)$$

$$y_{kL} \geq y_{k, L+1} \left(\begin{array}{c} k=1, 2, \dots, m \\ l=1, 2, \dots, L^{\max} - L^k \end{array} \right) \quad (6)$$

$$y_{kL} = 0 \text{ or } 1 \left(\begin{array}{c} k=1, 2, \dots, m \\ l=1, 2, \dots, L^{\max} - L^k \end{array} \right) \quad (7)$$

ここに、 F ：目的関数増加の下限値。 y_{kL} ：0-1変数で、リンク先をリンクレベル $(L^{\max} - l + 1)$ から $(L^{\max} - l)$ に下げるとき $y_{kL} = 1$ 、下げるないとき $y_{kL} = 0$ 。 f_{kL} ：リンク先をリンクレベル $(L^{\max} - l + 1)$ から $(L^{\max} - l)$ に下げるときの目的関数増加の下限値。 C_{kL} ：リンク先をリンクレベル $(L^{\max} - l)$ から $(L^{\max} - l + 1)$ に改善するのに必要な費用。 C^{\max} ：すべてのリンクを最高のリンクレベル L^{\max} に改善するのに必要な費用とする。

目的関数 F はリンクレベルを下げることによっておこる目的関数 F の増加の下限値の最小化を考えている。式(5)は式(2)と同値であり、右辺の $C^{\max} - C^U$ はすべてのリンクのリンクレベルを最高にした状態から、これだけ以上には建設費を節約しないと式(2)を満たさないといふ値である。よって式(5)を満たす解は式(2)も満たすことになる。

式(6)はリンクレベルを下げる順序に関する制約である。表一／リンクレベル低下による目的関数増加の下限値

すなわちリンク先をリンクレベル ($L^{\max} - l + 1$) から ($L^{\max} - l$) に下げない間は、リンクレベルを ($L^{\max} - l$) から ($L^{\max} - l - 1$) には下げられないことを表す。式(7)はそれが 0-1 変数であることを示す。

表一／はるリンクのリンクレベルを 1 下げたときの目的関数増加の下限値 f_{rel} に関する表である。リンク 1

リンク	1	...	l	... $L^{\max} - L_k$...	L^{\max}
リンク	$L^{\max} \rightarrow (L^{\max} - 1)$...	$(L^{\max} - l + 1) \rightarrow (L^{\max} - l)$...	$(L^{\max} - l) \rightarrow (L^{\max} - l - 1)$...
1	f_{11}	...	f_{1l}	...	$f_{1, L^{\max} - L_k}$...
⋮	⋮	⋮	⋮	⋮	⋮	⋮
⋮	f_{k1}	...	f_{kl}	...	$f_{k, L^{\max} - L_k}$...
⋮	⋮	⋮	⋮	⋮	⋮	⋮
m	f_{m1}	...	f_{ml}	...	$f_{m, L^{\max} - L_k}$...

については、現在のリンクレベル $L_1 = 0$ の場合を例にあげてある。

目的関数式(4)の t_{rel} で表わされるリンク先の目的関数増加の下限値とは、リンク先をリンクレベル ($L^{\max} - l + 1$) から ($L^{\max} - l$) に下げるときに、式(1)の目的関数凸がりよくともこれだけは増加するという値である。本研究では t_{rel} を次のようにして求めめる。

いま、リンク先はノード j , j' を結んでいるとする。式(8)により、リンク先のリンクレベルが ($L^{\max} - l + 1$), その他のリンクレベルがすべて L^{\max} のときのノード j から j' への最短所要時間 $t_{j \rightarrow j'}$ を求めめる。ただし、この最短所要時間とは災害パターンごとに重みづけした所要時間の和である。

$$t_{j \rightarrow j'}^{\max} = \sum_{s=1}^{k'} w_s \cdot t_{j \rightarrow j'}(\chi^s, \phi_s) \quad (8)$$

同様にして式(9)により、リンク先のリンクレベルが ($L^{\max} - l$), その他のリンクレベルがすべて L^{\max} のときの最短所要時間 $t_{j \rightarrow j'}$ を求めめる。

$$t_{j \rightarrow j'}^{\max} = \sum_{s=1}^{k'} w_s \cdot t_{j \rightarrow j'}(\chi^s, \phi_s) \quad (9)$$

ただし、
 $\chi^1: \begin{cases} \chi_R = L^{\max} & (R=1, 2, \dots, k'-1, k'+1, \dots, m) \\ \chi_R = L^{\max} - l + 1 & (R=k') \end{cases}$

$$\chi^2: \begin{cases} \chi_R = L^{\max} & (R=1, 2, \dots, k'-1, k'+1, \dots, m) \\ \chi_R = L^{\max} - l & (R=k') \end{cases}$$

そして式(10)により、リンク先のリンクレベルを 1 下げたときのノード j から j' に到る所要時間の増分 ($t_{j \rightarrow j'}^{\max} - t_{j \rightarrow j'}^{\max}$) に、ノード j から j' へのトリップ数 $\gamma_{j \rightarrow j'}$ をかけた値として f_{rel} を求めめる。

$$f_{\text{rel}} = \gamma_{j \rightarrow j'} (t_{j \rightarrow j'}^{\max} - t_{j \rightarrow j'}^{\max}) \quad (10)$$

式(4)～(7)の補助問題 1 は、複数の制約条件をもつローリー整数線形計画問題であり、一般にその最適解を求めるには多くの計算が必要となる。

リンクを採用するかしないかの 2 を考えるネットワーク問題の場合は、式(6)のリンクレベルの低下順序に関する制約式に対応するものはない。このとき、Hoang は 0-1 整数線形計画問題から整数制約をはずし LP 問題として、簡単に下限値を得る手法を提案している。Dantzig³⁾によりこの LP 問題の最適解は、目的関数の係数を予算制約の係数で割り、その値の小さいものから予算制約を満たすまで順に 1 とおいていく。最後の部分だけちょうど予算に一致する小数値とし、他の変数はすべて 0 として得られることが示されている。すなわち実際にシングレックス法を使用するこなく簡単に下限値を得ることができる。そこで、ここでもまず式(7)の整数制約を連續な実数制約式(11)に置きかえ、LP 問題とする。

$$0 \leq y_{k \ell} \leq 1 \quad (\begin{array}{l} k=1, 2, \dots, m \\ \ell=1, 2, \dots, L^{\max} - L_k \end{array}) \quad (11)$$

これを補助問題 2 とし、目的関数を F とすれば、制約を緩和しているのだから、式(12)の関係が成立するには明らかである。

$$F \geq F' \quad (12)$$

補助問題 2 に Dantzig の解法を適用すると、制約式(6)を満たさない解が得られる場合が考えられる。そこで式

(6)を満たさなくする変数を1つにまとめることを考える。これが変換操作アルゴリズムである。

①すべての ℓ について、式(13)を満たす ℓ の集合 $S_{\bar{\ell}}$ を求める。

$$f_{\bar{\ell}, \ell} / C_{\bar{\ell}, \ell} \geq f_{\bar{\ell}, \ell+1} / C_{\bar{\ell}, \ell+1} \quad (13)$$

もしすべての ℓ について、 $S_{\bar{\ell}} = \emptyset$ なら変換終了。そうでなければ②へ。

②一度変換の終了したリンク番号の集合 $\bar{\ell}$ を空集合 \emptyset とする。

③へ。

③式(13)を満たし、まだ変換を行っていない最小のリンク番号式(14)で求める。

$$\bar{\ell} = \min \{ \ell \mid S_{\bar{\ell}} \neq \emptyset, \ell \in \bar{\ell} \} \quad (14)$$

もし $\bar{\ell}$ が存在すれば④へ。なければ①へ。

④式(15)により $\bar{\ell}$ を求め、この $\bar{\ell}$ 、 $\bar{\ell}$ について式(16)、(17)の変換を行なう⑤へ。

$$\bar{\ell} = \min \{ \ell \mid \ell \in S_{\bar{\ell}} \} \quad (15)$$

$$f'_{\bar{\ell}} \leftarrow f_{\bar{\ell}, \bar{\ell}} + f_{\bar{\ell}, \bar{\ell}+1} \quad (16)$$

$$C'_{\bar{\ell}} \leftarrow C_{\bar{\ell}, \bar{\ell}} + C_{\bar{\ell}, \bar{\ell}+1} \quad (17)$$

⑤置き換を行なったリンク番号について、式(18)～(21)により添字 ℓ の順序を整理し、⑥へ。

$$f_{\bar{\ell}, \bar{\ell}} \leftarrow f'_{\bar{\ell}} \quad (18)$$

$$C_{\bar{\ell}, \bar{\ell}} \leftarrow C'_{\bar{\ell}} \quad (19)$$

$$f_{\bar{\ell}, \ell} \leftarrow f_{\bar{\ell}, \ell+1} \quad (\ell = \bar{\ell}+1, \bar{\ell}+2, \dots, L^{\max} - \bar{\ell}) \quad (20)$$

$$C_{\bar{\ell}, \ell} \leftarrow C_{\bar{\ell}, \ell+1} \quad (\ell = \bar{\ell}+1, \bar{\ell}+2, \dots, L^{\max} - \bar{\ell}) \quad (21)$$

⑥ $\bar{\ell} \leftarrow \bar{\ell}$ として③へ

このアルゴリズムのフローチャートを図-3に示す。変換操作の例を図で表わすと、図-4～図-6のようになる。ただし、これらの図はある1つの ℓ についてのみ考えている。まだ変換を行なうとき、添字 ℓ が変わるので、区別するため ℓ と ℓ' で表わすものとする。図-4の変換操作例1は、 $S_{\bar{\ell}} = \emptyset$ の場合である。よって変換操作はしない。図-5の変換操作例2は、 $\bar{\ell} = 2$ の場合である。よって、式(16)～(19)の変換操作を行う。すなわち、 $f'_{\bar{\ell}} \leftarrow f_{\bar{\ell}, 2} + f_{\bar{\ell}, 3}$, $C'_{\bar{\ell}} \leftarrow C_{\bar{\ell}, 2} + C_{\bar{\ell}, 3}$ として新しく、 $f_{\bar{\ell}, 2} \leftarrow f'_{\bar{\ell}}$, $C_{\bar{\ell}, 2} \leftarrow C'_{\bar{\ell}}$ とする。

この状態下、 $S_{\bar{\ell}} = \emptyset$ となったのでこの ℓ について変換終了。図-6の変換操作例3は操作を2回行う場合である。 $\bar{\ell} = 2$ なので、式(16)～(19)より、 $f'_{\bar{\ell}} \leftarrow f_{\bar{\ell}, 2} + f_{\bar{\ell}, 3}$, $C'_{\bar{\ell}} \leftarrow C_{\bar{\ell}, 2} + C_{\bar{\ell}, 3}$ として、新しく $f_{\bar{\ell}, 2} \leftarrow f'_{\bar{\ell}}$, $C_{\bar{\ell}, 2} \leftarrow C'_{\bar{\ell}}$ とする。この状態で再び $\bar{\ell} = 1$ となったので式(16)～(19)より、 $f'_{\bar{\ell}} \leftarrow f_{\bar{\ell}, 1} + f_{\bar{\ell}, 2}$, $C'_{\bar{\ell}} \leftarrow C_{\bar{\ell}, 1} + C_{\bar{\ell}, 2}$ として新しく $f_{\bar{\ell}, 1} \leftarrow f'_{\bar{\ell}}$, $C_{\bar{\ell}, 1} \leftarrow C'_{\bar{\ell}}$ とする。 $S_{\bar{\ell}} = \emptyset$ となったので、この ℓ について変換終了。

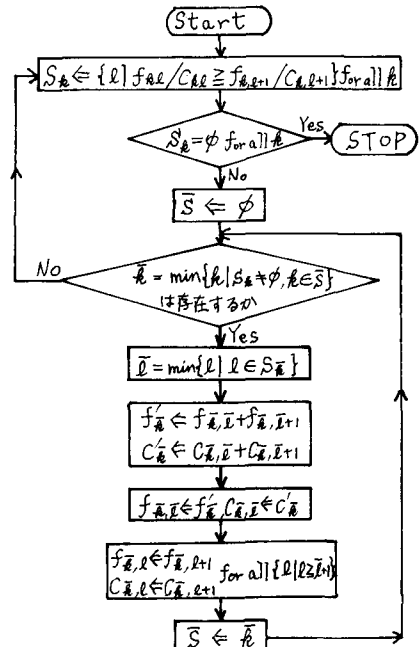


図-3 変換操作アルゴリズムのフローチャート

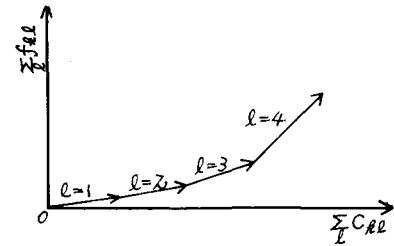


図-4 変換操作例 1

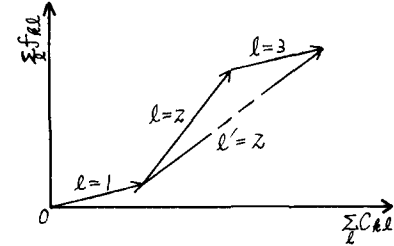


図-5 変換操作例 2

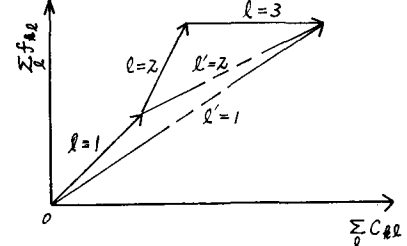


図-6 変換操作例 3

補助問題2に変換操作アルゴリズムを適用して得られる問題を補助問題3としてその定式化を次に示す。

補助問題3

$$\min F'' = \sum_{k=1}^m \sum_{l=1}^{d_k} f_{k,l} \cdot y_{k,l} \quad (22)$$

$$\text{s.t. } \sum_{k=1}^m \sum_{l=1}^{d_k} C_{k,l} \cdot y_{k,l} \geq C^{\max} - C^u \quad (23)$$

$$0 \leq y_{k,l} \leq 1 \quad (k=1, 2, \dots, m) \quad (24)$$

ここに、 d_k : 変換操作を行った後のリンク k についての l の上限値。 l' : 変換操作を行った後の l 。補助問題1・2との区別するため l' とする。式(22)～(24)で表される補助問題3はナップザック問題の整数制約をはずした線形計画問題であり、Dantzigの簡単な解法を適用できる。次にその解法を示す。

$$f_{k,l} / C_{k,l} \quad (k=1, 2, \dots, m) \\ (l=1, 2, \dots, d_k)$$

を求める。その値の小さいものから順に、添字を1, 2, 3, ...と置きなおす。すると、補助問題3は式(25)～(27)の形で表される。

$$\min F''' = \sum_{k=1}^K f_{k,l} \cdot y_{k,l} \quad (25)$$

$$\text{s.t. } \sum_{k=1}^K C_{k,l} \cdot y_{k,l} \geq C^{\max} - C^u \quad (26)$$

$$0 \leq y_{k,l} \leq 1 \quad (k=1, 2, \dots, K) \quad (27)$$

ここに、 $K = \sum_{k=1}^m d_k$ とする。

添字の決定方法により、式(28)が明らかに成立する。

$$f_1/C_1 \leq f_2/C_2 \leq \dots \leq f_K/C_K \leq \dots \leq f_m/C_m \quad (28)$$

このとき最適解は、式(29)～(31)となる。

$$\begin{cases} y_{k,l} = 1 & \text{if } k < \nu \\ y_{k,l} = 0 & \text{if } k > \nu \end{cases} \quad (29)$$

$$y_{\nu} = (C^{\max} - C^u - \sum_{k=1}^{\nu-1} C_{k,l}) / C_{\nu} \quad (30)$$

ただし、 ν は式(32)を満たす最小の整数である。

$$\sum_{k=1}^{\nu} C_{k,l} \geq C^{\max} - C^u \quad (32)$$

図-5、6を見てもわかるように、2点鎖線のベクトルで表される変換操作を行った部分は、実線のベクトルで表される部分よりも必ず下方に位置している。このことは式(33)が成立することを意味する。

$$F' \geq F'' \quad (33)$$

またDantzigの解法は補助問題3の厳密解を与えるのだから式(34)が成立する。

$$F'' = F''' \quad (34)$$

すなわち式(12), (33), (34)より式(35)が成立する。

$$F \geq F'' = F''' \quad (35)$$

よって式(36)で表される Z^l は、目的関数の下限値となる。

$$Z^l = Z^0 + F''' \quad (36)$$

ここに、 Z^0 : すべてのリンクレベルを L^{\max} としたときの目的関数 Z の値とする。

以上述べたことをまとめ、次のアルゴリズム1を作成する。

(3) アルゴリズム1とその組合せトリー

最初すべてのリンクを最高のリンクレベルにしておき、順番にリンクレベルを下げるにより実行可能解を探索する。この探索には組合せトリーを使用するが、分枝戻数は、補助問題1で導入した $y_{k,l}$ を使う。

$y_{k,l}=1$ はリンク k のリンクレベルを $(L^{\max}-l+1)$ から $(L^{\max}-l)$ に下げる意味する。 $y_{k,l}=0$ はリンク

そのリンクレベルを($L^{\max} - l + 1$)に固定し、それ以上は下げるないことを意味する。 $y_{k,l} = 1$ は $y_{k,l}$ が自由変数であることを表す。組合せトリーの一部を図-7に示す。節点を①, ..., ②, ③で表す。節点①から分枝変数 $y_{k,l}$ を1とおいて分枝し、節点(②)に進み、さらに $y_{k,l}$ を1とおいて分枝し、節点(③)に進んでいく。このことは、まずリンク k_1 のリンクレベルを($L^{\max} - l_1 + 1$)から1レベル下げる、さらにリンク k_2 のリンクレベルを($L^{\max} - l_2 + 1$)から1レベル下げるることを意味する。節点(③)以下の節点をすべて探索した後、再び節点(②)に戻り、次に $y_{k,l}$ を0とおいた節点④に進む。

組合せトリー上のある節点の解 X は式(37)により、分枝変数 $y_{k,l} = 1$ である部分だけを最高のリンクレベル L^{\max} から下げる得られる。

$$x_k = L^{\max} - \sum_{l=1}^{L^{\max}} y_{k,l} \quad (k=1, 2, \dots, m) \quad (37)$$

ここに、
 $\begin{cases} y(y_{k,l}) = 1 & \text{if } y_{k,l} = 1 \\ y(y_{k,l}) = 0 & \text{if } y_{k,l} \neq 1 \end{cases}$ とする。

アルゴリズムの中で、 Z^{l_1}, Z^{l_2} の2つの下限値を使用する。 Z^l は補助問題3のLP解から式(36)で求まる値である。このLP解は変換操作により合成された部分をそれを1つの変数に置きえたときの解であるから、分枝する際には補助問題1で使用しているもとの $y_{k,l}$ において、同一リンクに対しても順番にリンクレベルが下がるようになる。そしてLP解の小数部分については、予算制約を満たした時点で、分枝を停止する。そしてその節点に対応する実行可能解の目的関数の下限値を Z^l とする。

- ①初期値として、節点①で最適解の目的関数 Z の値を $Z_{\text{opt}} = \infty$ 、コストを $C_{\text{opt}} = \infty$ とする。すべての l について、分枝変数は $y_{k,l} = 1$ とおいて自由変数とする。②へ。
- ②すべてのリンクについて、リンクレベルを L^{\max} としたときの目的関数 Z の値を求め、 Z とする。式(10)を用いてすべての k, l について $f_{k,l}$ を求める。③へ。
- ③補助問題2に変換操作アルゴリズムを適用し、補助問題3を作成する。④へ。
- ④その節点で固定変数を制約に加え、補助問題3をDantzigの解法を使い解く。実行不能なら⑧へ。実行可能なら式(36)により目的関数の下限値 Z^l を求める。もし $Z^l > Z_{\text{opt}}$ なら⑧へ。他は⑤へ。
- ⑤補助問題3の解を使い、補助問題1の実行可能解が得られるまで $y_{k,l} = 1$ とおいて順番に分枝する。このときの下限値 Z^l を求める。もし $Z^l > Z_{\text{opt}}$ なら⑦へ。他は⑥へ。
- ⑥その節点の解 X と目的関数 Z の値を求め Z を Z とする。またそのときのコストを C とする。そして (Z, C) が $(Z_{\text{opt}}, C_{\text{opt}})$ より辞書編集的に小さければ $(Z_{\text{opt}}, C_{\text{opt}})$ を (Z, C) でおきかえ、最適解を $X_{\text{opt}} = X$ とする。⑦へ。
- ⑦その節点に来るときの分枝変数 $y_{k,l}$ の値を0に固定して節点に進む。④へ。
- ⑧その節点から分枝変数 $y_{k,l}$ が1である節点まで分枝変数 $y_{k,l}$ を-1、すなわち自由変数におきなおすながら、backtrackする。①へ。もどる節点がない場合は計算終了で、そのときの X_{opt} が最適解である。

(4) 簡単な計算例を使用したアルゴリズムの説明

簡単な例題として図-8のネットワークを考える。図中リンクの上にある数字はリンク番号を表す。表-2はOD表である。表-3にリンク長、改良前のリンクレベル、改良に要する費用、災害パターンとその重みを示す。

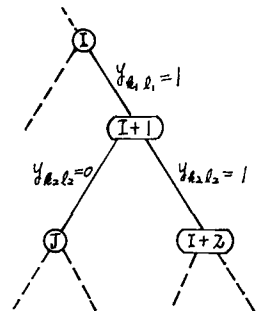


図-7 アルゴリズム1の組み合わせトリー

す。災害パターンは3つ考へ、それぞれの重みは $w_1=0.7$, $w_2=0.2$, $w_3=0.1$ としている。パスが存在しないノード間にについては、所要時間のかわりにペナルティーとして 15を与えることにする。ここでは考へる最高のリンクレベルを3とする。

すべてのリンクレベルを3にするために必要なコストは $C^{max}=86$ である。このとき目的関数は $Z^0=145$ となる。

目的関数増加の下限値 f_{rel} を求めると表-4のようになる。現在のリンクレベルより下がることはないので、その部分には値を入れていない。表-4の f_{rel} を表-3の C_{rel} で割り、表-5を得る。さらに変換操作を行い、表-6の f_{rel}/C_{rel} を得る。表-6で -1 となるのはその部分を変換していることを示す。

予算制約を $C^u=56$ とすると、図-10の組合せトリーは次のようにして作成される。

①節点0で、 $y_{21}=y_{31}=y_{51}=1$ と固定しても目的関数

Z^0 の値は Z^0 より大きくならない。よってこの状態から計算を開始する。補助問題3を解いて $y_{32}=y_{11}$

$$= y_{32} = 1, F'' = 0.5 \times 1 + 1.5 \times 1 + 3 \times 1 = 5.$$

$$Z^{l_1} = 145 + 5 = 150 < Z_{opt} = \infty. \text{ よって分枝する}.$$

②節点3下、 $y_{52}=y_{11}=y_{32}=1$ で補助問題1が実行可能。 $Z^{l_2}=145+0.5 \times 1 + 1.5 \times 1 + 3 \times 1 = 150 < Z_{opt} = \infty.$ よって目的関数を計算する。このときの解は、 $X=(2, 2, 1, 3, 1)$ である。図-9(a)～(c)は解Xに災害パターン1, 2, 3を与えたときのネットワークの状態を示す。それらの総所要時間は 145, 160, 170 であるので、さらに重みづけして

$$Z = 0.7 \times 145 + 0.2 \times 160 + 0.1 \times 170 = 150.5 \text{ を得る。} Z < Z_{opt} = \infty \text{ なので、この解を暫定解とし、} X_{opt} = (2, 2, 1, 3, 1), Z_{opt} = 150.5 \text{ とする。backtrack し、} y_{3,2} = 0 \text{ と固定する。}$$

③節点4下、固定変数 $y_{21}=y_{31}=y_{51}=y_{32}=y_{11}=1, y_{52}=0$ の下で補助問題3を解いて $y_{22}=1, y_{41}=2/20, F''=0.5 \times 1 + 1.5 \times 1 + 3.0 \times 1 + 18.0 \times 2/20 = 6.8$, $Z^{l_3} = 145 + 6.8 = 151.8 > Z_{opt}$ よって節点5に backtrack する。このとき $y_{32}=-1, y_{11}=0$ とする。同様の計算を繰り返し、節点12から backtrack した際に、節点0に立ちり、それ以上 backtrack できなくなる。よってそこで計算を終了し、最適解 $X_{opt} = (2, 2, 1, 3, 1)$

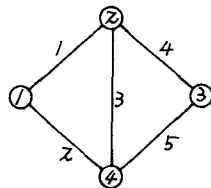


表-2 OD表

D	1	2	3	4
0				
1		15	5	10
2			20	15
3				5
4				

図-8 例題1のネットワーク

表-3 計算例の諸データ

リンク番号	リンク長	リンクレベル	改良費用			災害パターン
			0→1	1→2	2→3	
1	3	2	—	—	5	0 1 2
2	2	1	—	6	5	0 0 1
3	2	0	10	8	5	0 1 0
4	1	0	20	10	10	0 2 1
5	2	1	—	2	5	0 0 1

表-4 目的関数増加の下限値 f_{rel} 表-5 f_{rel}/C_{rel}

リンク番号	リンクレベル	リンクレベル		
		3→2	2→1	1→0
1	1.5	—	—	—
2	0.0	3.0	—	—
3	0.0	3.0	12.0	—
4	12.0	6.0	42.0	—
5	0.0	0.5	—	—

リンク番号	リンクレベル	リンクレベル		
		3→2	2→1	1→0
1	0.3	—	—	—
2	0.0	0.5	—	—
3	0.0	0.375	1.2	—
4	1.2	0.6	2.1	—
5	0.0	0.25	—	—

表-6 f_{rel}/C_{rel}

リンク番号	リンクレベル	リンクレベル		
		3→2	2→1	1→0
1	0.3	—	—	—
2	0.0	0.5	—	—
3	0.0	0.375	1.2	—
4	0.9	-1	2.1	—
5	0.0	0.25	—	—

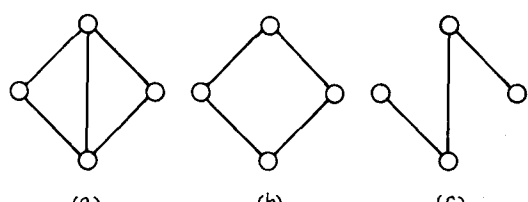


図-9 各災害パターンに対するネットワークの状態

を得る。ただし図-10で○は目的関数を実際計算した節点、○は $Z^l > Z_{opt}$ となった節点、○は $Z^l < Z_{opt}$ となった節点を示す。この例題においては、最初の実行可能解が最適解であり、目的関数の計算は1回だけですか。

(5) 電子計算機を使用した計算例

上記のアルゴリズム1による電子計算機のためのプログラムを作成した。そして図-11に示す、ノード数8、リンク数20のネットワークについて実際に計算を行った。図中、改良前のリンクレベルはすべて0として破線で表れしている。表-1はOD表で、乱数を使用して求めたものである。この例題では、リンクに向きはないものとしているので、三角表となっている。また災害パターンは図-12(a)～(d)に示す4種類を考えている。災害強度レベルが高いほどリンクを太くした。破線は災害強度レベルが0であることを表している。

最高のリンクレベルを5としたときの最適解を図-13(a)～(c)に示す。(a)～(c)はそれぞれ予算の上限値を1900, 1500, 1100と小さくしていったときの状態を表す。リンクの太さはリンクレベルに対応している。この図から重要なリンクで、災害強度レベルの強いものは、よりリンクレベルの高いものに改善されていることがわかる。

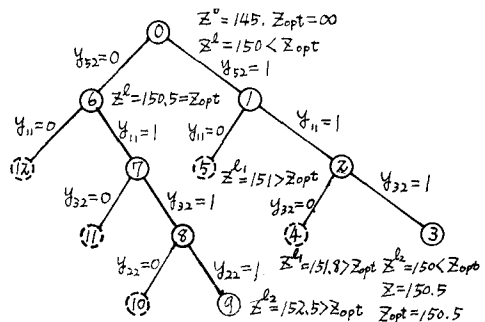


図-10 計算例の組み合わせトリー

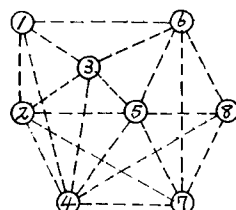
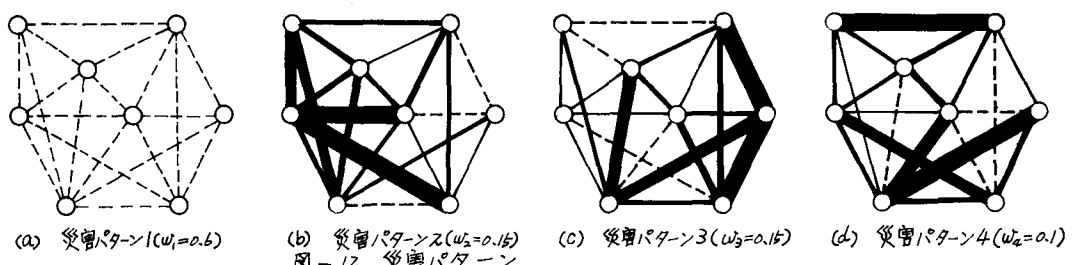


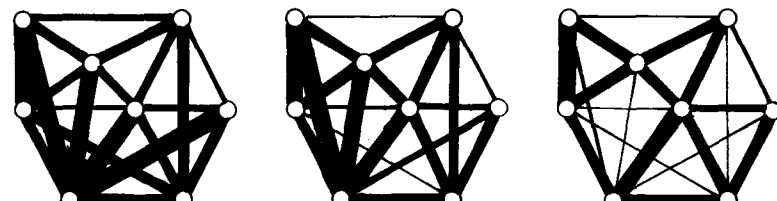
図-11 改善前のネットワーク

表-1 OD表

0	1	2	3	4	5	6	7	8
1		70	97	31	30	98	0	74
2			63	48	20	13	12	57
3				25	10	78	99	38
4					45	75	44	37
5						59	94	63
6							26	9
7								28
8								



(a) 災害パターン1($w_1=0.6$) (b) 災害パターン2($w_2=0.15$) (c) 災害パターン3($w_3=0.15$) (d) 災害パターン4($w_4=0.1$)



(a) $C^L = 1900$ のときの最適解 (b) $C^L = 1500$ のときの最適解 (c) $C^L = 1100$ のときの最適解

4 到達トリップ数最大化問題

(1) 問題の定式化

いくつかの災害パターンのもとでの目的地に到着可能なトリップ数の期待値を評価関数とする。制約条件は、の場合と同様に建設費とする。この問題は次のように定式化される。

$$\max Z_2 = \sum_{s=1}^S w_s \left(\sum_{i=1}^n \sum_{j=1}^n g_{ij} \cdot r_{ij} (\text{本}, \theta_s) \right) \quad (38)$$

$$\text{s.t. } \sum_{k=1}^K C_k (X_k) \leq C^U \quad (39)$$

$$L_k \leq X_k \leq L_k^{\max} \quad (k=1, 2, \dots, M) \quad (40)$$

ここに、 Z_2 ：目的関数で、目的地に到達可能なトリップ数の期待値。 r_{ij} ：ノード*i*からノード*j*に到達可能な確率。その他の変数については、3.の定義と同様とする。

式(38)の $g_{ij} \cdot r_{ij}$ ($\text{本}, \theta_s$) はリンクレベルが本、災害パターンが θ_s のとき、ノード*i*からノード*j*に到達可能なトリップ数の期待値である。それをすべてのノード対について合計し、さらに災害パターンごとに重みづけしたもののが式である。すなわち、目的関数 Z_2 ではトリップの所要時間は評価に考慮されていないことにによる。制約式(39), (40)は式(2), (3)と同様である。

(2) 信頼度の下限値の導入

ノード*i*, *j* 間の厳密な信頼度 r_{ij} を得ることは困難であるので、ここではカットセットにより信頼度の下限値を求める。これを式(38)の r_{ij} のかわりに使用する。

ここに、いつカットセットとは、あるノード対に対して存在するリンクの集合で、このリンクがすべて破壊されば他のリンクの状態に關係なく、考えていろノード間にパスがなくなるものである。たとえば、図-14のネットワークにおいてノード1とノード4の間に4つのカットセットが存在する。それらを表-8に示す。

信頼度の下限値 r'_{ij} は式(41)により求められる。²⁾

$$r'_{ij} = \prod_{\substack{\text{all } v \in V_{ij} \\ k \in T_v}} \left[1 - \prod_{e \in P_k} p_e \right] \quad (41)$$

ここに、 r'_{ij} ：信頼度の下限値。 V_{ij} ：ノード*i*, *j* 間のカットセットの番号の集合。 v ：カットセットの番号。 P_k ：カットセット v に含まれるリンク番号の集合。

k ：リンク番号。 p_e ：リンク e の破壊確率とする。

すつて目的関数式(38)は、式(42)で表わされる。

$$\max Z_3 = \sum_{s=1}^S w_s \left(\sum_{i=1}^n \sum_{j=1}^n g_{ij} \cdot r'_{ij} (\text{本}, \theta_s) \right) \quad (42)$$

(3) アルゴリズムとその組合せトリー

カットセットの集合 V_{ij} を求めさえすれば、ノード対 *i*, *j* 間のパスの存在する確率の下限値 r'_{ij} を式(41)により簡単に求めることができる。したがって式(42)の目的関数 Z_3 の値はすべてのノード対についてトリップ数 g_{ij} と r'_{ij} の積の和をとることにより容易に求まるようになつた。すつて最適解は、予算制約を満たすすべての実行可能解を、組合せトリーを使って列举し、暫定解を更新してゆけば求めることができ。

分枝変数としてはリンク先のリンクレベルを表わす X_k を使用する。 $X_k = -1$ で表わされる X_k は自由変数で、まだリンク先のリンクレベルが決っていないことを意味する。

組合せトリーの一部を図-15に示す。節点①, ---

表-8 図-12のカットセット

カットセット	リンク
(1)	1, 2
(2)	1, 3, 5
(3)	2, 3, 4
(4)	4, 5

図-14 カットセットの例

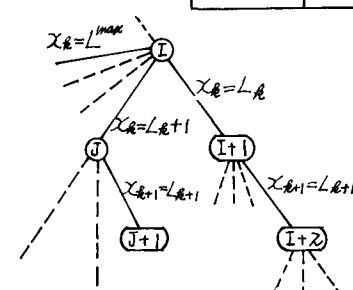


図-15 アルゴリズムの組合せトリー

$(I+2)$, (1) , $(J+1)$ で表わす。節点 I から分枝変数 Z_{ik} を現在のリンクレベル \angle_{ik} とおいて分枝し、節点 $(I+1)$ に進む。さらに Z_{ik} を現在のリンクレベル \angle_{ik} とおいて分枝し、節点 $(I+2)$ に進んでいく。分枝変数を置く順序は任意であるので、ここではリンク番号の順に従うとしている。節点 $(I+1)$ 以下の節点をすべて探索した後再び節点 $(I+1)$ にもどってくる。そして次に Z_{ik} をもし可能なら $\angle_{ik} + 1$ とおいた節点 J に進み、以下他の自由変数をもつリンクのリンクレベルの組合せを探索する。 3 での組合セトリーでは分枝変数が一部自由変数のままでの状態であっても予算制約を満たしたときの節点で、式(37)より実行可能解が得られた。しかしここではすべての分枝変数が固定されたときの節点が 1 つの実行可能解を表わすことになる。以下にそのアルゴリズムを提案する。

まず、すべてのノード対 i, j についてカットセットの集合 V_{ij} を求めておく。目的関数の最大化問題であるから、初期値として暫定解の目的関数值を $-\infty$ 、コストを ∞ とおき、すべての分枝変数を自由変数として計算を開始する。最初、すべてのリンクのリンクレベルが現在のリンクレベルである節点に分枝して進む。このとき当然コストは 0 となり 1 つの実行可能解が求ることになる。これを暫定解とする。そして最後に分枝したリンクについて、順番にリンクレベルを上げていきつつ目的関数值、コストを比較して暫定解を更新していく。コストが制約を上まわるか、最高のリンクレベルを越えれば、そのリンクのリンクレベルを自由変数におきなおす、さらに 1 つ上の節点に backtrack し、そのリンクについて同様の操作を繰り返しながらすべての解の組合せを探索する。

アルゴリズムを整理すると次のようになる。

- ① カットセットの集合 V_{ij} を求めよ。② \rightarrow
- ② 初期値 $Z_{opt} = -\infty$, $C_{opt} = \infty$, X_{opt} を与える。 $Z_{ik} = -1$ ($k = 1, 2, \dots, m$) とする。③ \rightarrow
- ③ $Z_{ik} = -1$ であるリンクが残っていれば④ \rightarrow 。なければ⑤ \rightarrow
- ④ リンク i, j のリンクレベル Z_{ik} を $Z_{ik} = \angle_{ik}$ として分枝する。③ \rightarrow
- ⑤ その節点での実行可能解 X に対する目的関数とコストを求める Z , C とする。 $Z > Z_{opt}$ のとき、または $Z = Z_{opt}$ かつ $C < C_{opt}$ のとき $Z_{opt}, C_{opt}, X_{opt}$ を Z, C, X で置き換える。⑥ \rightarrow
- ⑥ 最後に分枝した変数に対応するリンクのリンクレベルを 1 上げた節点へ進む。⑦ \rightarrow
- ⑦ リンクレベルを上げたときに、最高のリンクレベルを越えれば⑨ \rightarrow 。最高のリンクレベル以下であれば⑧ \rightarrow
- ⑧ コストが制約以内であれば③ \rightarrow 、制約を越えれば⑨ \rightarrow
- ⑨ 分枝変数に対応するリンク i, j のリンクレベル Z_{ik} を -1 としてさらに手前の節点にもどり、その節点へのリンクレベルを 1 上げた節点へ進む⑦ \rightarrow 。もどる節点がない場合は計算終了。そのときの X_{opt} が最適解である。ここに、 X : 目的関数を計算したときの各リンクのリンクレベル。 \angle : 現在のリンクレベルとする。

アルゴリズムのための電子計算機プログラムも作成している。又、3 の計算例を解き、アルゴリズムの実証を行った。ただし、この方法ではすべての実行可能解を列挙するため、あまり大規模なネットワークには適用できない。

(4) 対数を使用した評価関数の導入

目的関数式(42)は、各ノード対間にバスの存在する確率の下限値をトリップ数で重みづけした形になっているため、トリップ数の大さいノード対間の信頼性改善を重視していることに留意。そのため、もしノード対 i, j 間のトリップ数が小さければ、 i, j 間の信頼度は改善される機会が少なくななる。

そこで、たとえ i, j 間のトリップ数が小さくても、 i, j 間の信頼度が極端に低い場合にその信頼度を改善するよう ϕ 、すなはちすべてのノード対間にある程度の信頼度を確保しつつ、ネットワーク全体の最適化をはかるような評価関数として、対数を使用した式(43)を導入する。

$$\max Z_4 = \sum_{s=1}^S w_s \left(\sum_{i=1}^n \sum_{j=1}^n g_{ij} \cdot \log \frac{1}{1 + \phi_s} \right) \quad (43)$$

(5) アルゴリズム3の提案

式(39), (40)の制約下で、式(43)の区を最大にする問題の解法について述べる。3. での総所要時間を評価関数としたときの最適化手法と同様にして、計算の効率化をはかる。この問題は目的関数の最大化問題なので、目的関数の上限値を設定する。このため次の問題を導入する。

$$\min G = \sum_{k=1}^m \sum_{l=1}^{L_{\max}} g_{k l} \cdot y_{k l} \quad (44)$$

$$\text{S.t. } \sum_{\substack{m=1 \\ k=1}}^M C_{mk} \cdot Y_{kl} \geq C^{\max} - C^u \quad (45)$$

$$y_{k,l} \geq y_{k,l+1} \quad \left(\begin{array}{l} k=1, 2, \dots, m \\ l=1, 2, \dots, L^{\max} - L_k \end{array} \right) \quad (46)$$

$$Y_{kl} = 0 \text{ or } 1 \quad (k=1, 2, \dots, m \\ l=1, 2, \dots, L_{\max} - L_k) \quad (47)$$

ここに、 G : 目的関数 γ_0 の減少の下限値。 g_{kl} : リンク k をリンクレベル $(L^{\max} - l + 1)$ から $(L^{\max} - l)$ に下げると γ_0 の目的関数 γ_0 の減少の下限値。他の変数については、3.の補助問題1と同様である。

目的関数式(44)は目的関数減少の下限値の最小化を考えている。制約式(45)～(47)は式(5)～(7)と同じである。式(44)の解の求め方については、次のようにする。

まず、リンク先のリンクレベルを($\angle^{\max} - l + 1$)にし、他のすべてのリンクレベルを \angle^{\max} にしたときの目的関数 ψ_4 を求める。そしてリンク先のリンクレベルを($\angle^{\max} - l$)にし、他のすべてのリンクレベルを \angle^{\max} にしたときの目的関数 ψ_4 の値を求め、さきに求めた値から二つの値を差し引く。これが φ_4 である。

式(44)～(47)で表わされる問題は、3.2の補助問題1と同じ形になっている。よってこのときと同じ手法で、整数制約をはずし、さらに変換操作アルゴリズムを適用したのち、Dantzigの解法を使用する。このときの値を F' に対応させて G' とするとき、目的関数 Σ_4 の上限値 Z^u は、式(48)で求めることができます。

$$Z^{U_1} = Z^0 - G'' \quad (48)$$

ここに、 γ^0 ：すべてのリンクを最高リンクレベルにしてソースの目的関数値とする。

基本的な解法はアルゴリズム1と同じである。すなわち、最初すべてのリンクを最高のリンクレベルにしておき、順番にリンクレベルを下げるごとにより実行可能解を探索する。組合せトリーを作るとさの分枝変数数は、 $\frac{1}{2}n(n+1)$ である。アルゴリズム1と異なるのは、この問題が目的関数の最大化問題であるため、目的関数の上限値が暫定解の目的関数值未満であれば目的関数の計算を省略できる点である。また実際に分枝した節点での目的関数の上限値を記すとする。アルゴリズム3を整理すると以下のようになる。

- ①初期値として、節点0で最適解の目的関数 Z_4 の値を $Z_{opt} = -\infty$ 、コストを $C_{opt} = \infty$ とする。すべての l について分枝変数は $y_{4l} = -1$ とおいて自由変数とする。②へ。
 - ②すべてのリンクについてリンクレベルを L^{max} としたときの目的関数 Z_4 の値を求め Z^0 とする。すべての l について y_{4l} を求め、式(44)～(47)で表わされる問題を作成する。③へ。
 - ③交換操作アルゴリズムを適用し、新たにLP問題を作成する。④へ。
 - ④その節点で固定変数を制約に加え、LP問題を解く。実行不能なら⑧へ。実行可能なら、式(48)により目的関数の上限値 Z^{U_l} を求める。もし $Z^{U_l} < Z_{opt}$ なら⑧へ。他は⑤へ。
 - ⑤LP問題の解を使い、式(45)を満たす実行可能解が得られるまで $y_{4l} = 1$ とおいて順番に分枝する。このときの上限値 Z^{U_l} を求める。もし $Z^{U_l} < Z_{opt}$ なら⑦へ。他は⑥へ。
 - ⑥その節点の解 X と目的関数 Z_4 の値を求め $Z \leftarrow Z_4$ とする。またそのときのコストを C とする。そして $Z > Z_{opt}$ あるいは、 $Z = Z_{opt}$ かつ $C < C_{opt}$ であれば、 Z_{opt} 、 C_{opt} 、 X_{opt} を Z 、 C 、 X で置き換える。⑦へ。
 - ⑦その節点にくろときの分枝変数 y_{4l} の値を0に固定した節点に進む。④へ。
 - ⑧その節点から分枝変数 y_{4l} が1である節点まで、分枝変数 y_{4l} を1とおきながら backtrack する。

⑦へ。もどる節点がない場合は計算終了下、そのときの X_{opt} が最適解である。
このアルゴリズムのための電子計算機プログラムを作成した。アルゴリズムに比べれば不要な計算が省略できることで、より効率的な計算が可能となった。

5 あとがき

本研究では災害に対して信頼性の高い交通ネットワークを合理的に構成するアルゴリズムを開発した。まず、交通ネットワークの特性を検討した上で、この問題を2つの場合に分けて定式化した。ひとつは総所要時間最小化問題で、他のひとつは目的地に到着可能な期待トリップ数最大化問題である。

われわれは、定式化する際、いくつかの新しい概念を導入した。まず、リンクの規格のようにみたされ、対災害信頼性の水準を離散的に表わすものとしてリンクレベルを設定した。そして簡単化のために災害の強度を離散的に災害強度レベルで表わした。このことにより、本研究で取り扱う問題は一定の予算制約下で上述の評価閾値を最小あるいは最大にするようリンクレベルを探索する組合せ問題に帰着された。

総所要時間最小化問題については、目的関数の下限値を設定することにより、効率的に計算下さるアルゴリズムを作成した。

目的地に到着可能な期待トリップ数最大化問題については、カットセットの概念を導入することにより、期待トリップ数の下限値を容易に求めることでできるアルゴリズムを作成した。さらに、ネットワークで部分的に極端に信頼度の低いノード対が多くなるよう、対数を使用して評価閾値を新たに設定した。そして目的関数の上限値を求めるこにより、効率的に計算下さるアルゴリズムを作成した。

それこれらのアルゴリズムのプログラムを作成し、実際にいくつかの例題を解いた結果、よくに目的関数の下限値あるいは上限値を使用したアルゴリズム1, 3が有効であることがわかった。

ここで開発したアルゴリズムはすべて厳密解法であるが、実用性を重視した近似解法もこれをもとに考えられよう。従来の最適ネットワーク問題がどうであろうかに、実際の問題に適用するには近似解法でなければならぬ。そのような近似解法をつくり、実際の問題への適用を図ることが、今後の課題である。

参考文献

- 1) Hoang Hai Hoc : A computational approach to the selection of an optimal network. Management Science, Vol. 19, No. 5, PP. 488~498, January, 1973.
- 2) 枝村俊郎・森津秀夫：最適交通ネットワーク問題の厳密解法と近似解法。土木学会論文報告集, 第262号, PP. 39~53, 1977年6月。
- 3) Dantzig, G. B. : Discrete-variable extremum problems. Operations Research, Vol. 5, PP. 266~277, 1957.
- 4) Jensen, P. A. and M. Bellmore : An algorithm to determine the reliability of a complex system. IEEE Transactions on Reliability Vol. R-18, PP. 169~174, November, 1969.
- 5) 枝村俊郎・森津秀夫・土井元治：対災害信頼性による交通網計画。土木学会第34回年次学術講演会講演概要集, 第4部, PP. 53~54, 森津秀夫・土井元治・中川勝八郎：破壊確率を考慮した対災害信頼性の交通網への最適配分。土木学会第34回年次学術講演会講演概要集, 第4部, PP. 55~56, 昭和54年10月。